

View Opti Beam Lens circular

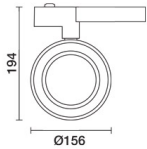
Design iGuzzini /
Arup

iGuzzini

Última actualización de la información: Mayo 2024

Configuraciones productos: Q299

Q299: luminaria circular de cuerpo grande - wide flood



Código producto

Q299: luminaria circular de cuerpo grande - wide flood

Descripción

Luminaria para interiores orientable con adaptador para instalación sobre riel trifásico/DALI. Luminaria realizada en aluminio fundido a presión y parte frontal de material termoplástico. La doble orientabilidad de la luminaria permite una rotación de 360° alrededor del eje vertical y una inclinación de 90° respecto al plano horizontal. Cuerpo óptico con led en tono de color neutral White 4000K, tecnología OPTIBEAM LENS y haz luminoso wide flood. Controlador electrónico regulable integrado en caja con sistema semiescamoteable en riel. Posibilidad de instalación de varios accesorios planos como, por ejemplo, OPTIBEAM REFRACTOR para variar la distribución luminosa, reflector para distribución elíptica, deflector, soft lens y un accesorio externo como puede ser la aleta asimétrica capaz de evitar la dispersión de luz parásita en el techo.

Instalación

En riel electrificado trifásico/DALI

Colores

Negro (04) | Blanco/Negro (47)

Peso (Kg)

1.66

Montaje

raile dali|riel trifásico

Equipo

Incluye componentes electrónicos regulables integrados en caja semiescamoteable en riel.

Se conforma con EN60598-1 y regulaciones pertinentes



Datos técnicos

| | | | |
|---|-------|--------------------------------------|---------------------------------------|
| Im de sistema: | 3059 | Temperatura de color [K]: | 4000 |
| W de sistema: | 29.2 | MacAdam Step: | 2 |
| Im de la fuente: | 3730 | Life time (vida útil) LED 1: | > 50,000h - L90 - B10 (Ta 25°C) |
| W de la fuente: | 24 | Código de lámpara: | LED |
| Eficiencia luminosa (lm/W, valor del sistema): | 104.7 | Número de lámparas por grupo óptico: | 1 |
| Im en modo emergencia: | - | Código ZVEI: | LED |
| Flujo total de emisión en un ángulo de 90° o superior [Lm]: | 0 | Número de grupos ópticos: | 1 |
| Light Output Ratio (L.O.R.) [%]: | 82 | Factor de potencia: | Ver Hoja de instrucciones |
| Ángulo de apertura del haz de luz [°]: | 46° | Protección al sobrevoltaje: | 2kV Modo común y 1kV Modo diferencial |
| CRI (mínimo): | 80 | Control: | Push Dim |

Polar

| Imax=4530 cd | CIE nL 0.82 89-97-99-100-82 UGR 21.7-21.5 DIN A.61 UTE 0.82A+0.00T F*1=892 F*1+F*2=968 F*1+F*2+F*3=995 | Lux | | | |
|--------------|--|-----|-----|-----|------------------|
| | | h | d | Em | E _{max} |
| | | 2 | 1.7 | 864 | 1133 |
| | | 4 | 3.4 | 216 | 283 |
| | | 6 | 5.1 | 96 | 126 |
| | | 8 | 6.8 | 54 | 71 |

Coefficientes de uso

| | | | | | | | | | |
|------|----|----|----|----|----|----|----|----|-----|
| R | 77 | 75 | 73 | 71 | 55 | 53 | 33 | 00 | DRR |
| K0.8 | 70 | 65 | 62 | 59 | 64 | 61 | 61 | 58 | 70 |
| 1.0 | 74 | 69 | 66 | 64 | 68 | 66 | 65 | 62 | 76 |
| 1.5 | 79 | 75 | 73 | 70 | 74 | 72 | 71 | 68 | 83 |
| 2.0 | 82 | 79 | 77 | 75 | 78 | 76 | 75 | 72 | 88 |
| 2.5 | 83 | 81 | 80 | 78 | 80 | 79 | 78 | 75 | 92 |
| 3.0 | 85 | 83 | 82 | 81 | 82 | 81 | 80 | 77 | 94 |
| 4.0 | 86 | 85 | 84 | 83 | 83 | 83 | 81 | 79 | 96 |
| 5.0 | 87 | 86 | 85 | 84 | 84 | 84 | 82 | 80 | 98 |

Curva límite de luminancia

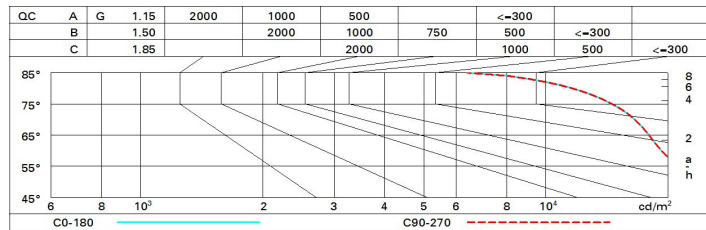


Diagrama UGR

| Corrected UGR values (at 3730 lm bare lamp luminous flux) | | | | | | | | | | | |
|---|------|------------------|------|------|------|------|----------------|------|------|------|------|
| Reflect.: | | viewed crosswise | | | | | viewed endwise | | | | |
| ceil/cav | | 0.70 | 0.70 | 0.50 | 0.50 | 0.30 | 0.70 | 0.70 | 0.50 | 0.50 | 0.30 |
| walls | | 0.50 | 0.30 | 0.50 | 0.30 | 0.30 | 0.50 | 0.30 | 0.50 | 0.30 | 0.30 |
| work pl. | | 0.20 | 0.20 | 0.20 | 0.20 | 0.20 | 0.20 | 0.20 | 0.20 | 0.20 | 0.20 |
| Room dim | | viewed crosswise | | | | | viewed endwise | | | | |
| x | y | | | | | | | | | | |
| 2H | 2H | 20.2 | 20.9 | 20.5 | 21.1 | 21.4 | 20.2 | 20.9 | 20.5 | 21.1 | 21.4 |
| | 3H | 20.8 | 21.4 | 21.1 | 21.7 | 21.9 | 20.3 | 21.0 | 20.7 | 21.2 | 21.5 |
| | 4H | 21.0 | 21.6 | 21.3 | 21.9 | 22.2 | 20.4 | 20.9 | 20.7 | 21.2 | 21.5 |
| | 6H | 21.1 | 21.7 | 21.5 | 22.0 | 22.3 | 20.4 | 20.9 | 20.7 | 21.2 | 21.5 |
| | 8H | 21.2 | 21.7 | 21.5 | 22.0 | 22.4 | 20.3 | 20.9 | 20.7 | 21.2 | 21.5 |
| | 12H | 21.2 | 21.7 | 21.5 | 22.0 | 22.4 | 20.3 | 20.8 | 20.7 | 21.1 | 21.5 |
| 4H | 2H | 20.4 | 20.9 | 20.7 | 21.2 | 21.5 | 21.0 | 21.6 | 21.3 | 21.9 | 22.2 |
| | 3H | 21.1 | 21.6 | 21.5 | 21.9 | 22.3 | 21.3 | 21.8 | 21.7 | 22.1 | 22.5 |
| | 4H | 21.4 | 21.9 | 21.8 | 22.2 | 22.6 | 21.4 | 21.9 | 21.8 | 22.2 | 22.6 |
| | 6H | 21.7 | 22.1 | 22.1 | 22.5 | 22.9 | 21.5 | 21.9 | 21.9 | 22.3 | 22.7 |
| | 8H | 21.7 | 22.1 | 22.2 | 22.5 | 22.9 | 21.5 | 21.9 | 22.0 | 22.3 | 22.7 |
| | 12H | 21.7 | 22.0 | 22.2 | 22.5 | 22.9 | 21.5 | 21.8 | 22.0 | 22.3 | 22.7 |
| 8H | 4H | 21.5 | 21.9 | 22.0 | 22.3 | 22.7 | 21.7 | 22.1 | 22.2 | 22.5 | 22.9 |
| | 6H | 21.8 | 22.1 | 22.3 | 22.6 | 23.0 | 21.9 | 22.2 | 22.3 | 22.6 | 23.1 |
| | 8H | 21.9 | 22.2 | 22.4 | 22.6 | 23.1 | 21.9 | 22.2 | 22.4 | 22.6 | 23.1 |
| | 12H | 21.9 | 22.2 | 22.4 | 22.6 | 23.2 | 21.9 | 22.1 | 22.4 | 22.6 | 23.2 |
| 12H | 4H | 21.5 | 21.8 | 22.0 | 22.3 | 22.7 | 21.7 | 22.0 | 22.2 | 22.5 | 22.9 |
| | 6H | 21.8 | 22.1 | 22.3 | 22.5 | 23.0 | 21.9 | 22.1 | 22.4 | 22.6 | 23.1 |
| | 8H | 21.9 | 22.1 | 22.4 | 22.6 | 23.2 | 21.9 | 22.2 | 22.4 | 22.6 | 23.2 |
| Variations with the observer position at spacing: | | | | | | | | | | | |
| S = | 1.0H | 1.7 / -1.2 | | | | | 1.7 / -1.2 | | | | |
| | 1.5H | 3.5 / -1.6 | | | | | 3.5 / -1.6 | | | | |
| | 2.0H | 5.1 / -1.9 | | | | | 5.1 / -1.9 | | | | |